

*Le magnétisme artificiel pour les gaz d'atomes froids*

# Magnétisme artificiel et interactions : condensats en rotation

Jean Dalibard

Chaire *Atomes et rayonnement*

Année 2013-14



COLLÈGE  
DE FRANCE  
— 1530 —

# Magnétisme dans une assemblée de particule en interaction

Vaste champ de recherche, avec un magnétisme qui peut être orbital et/ou de spin

Ferromagnétisme ou antiferromagnétisme

➡ Supraconductivité et effet Meissner

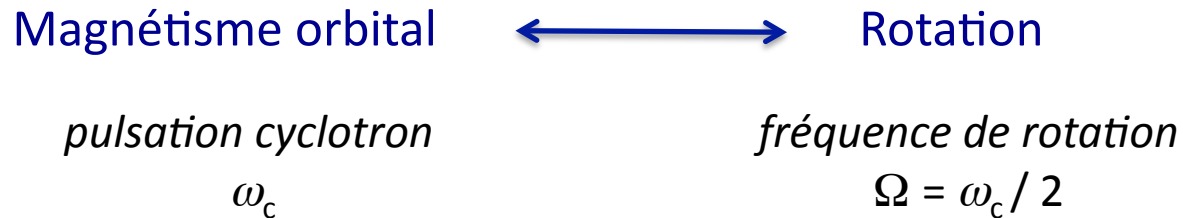
➡ Effet Hall quantique

Spintronique

Effet Kondo

Isolants et supraconducteurs topologiques

# Lien entre rotation et superfluidité



Gaz de Bose à  $N$  particules en interaction répulsive

→ Condensat de Bose-Einstein superfluide à température nulle

Que devient ce gaz en présence de magnétisme orbital, *i.e.*, quand il tourne ?

Quand on augmente le champ magnétique, un matériau supraconducteur (de type II) commence par se remplir de vortex, puis il revient à l'état normal.

Mais un gaz de Bose n'a pas d'état normal à température nulle...

# Plan du cours

## 1. Interactions dans un gaz froid

*Longueur de diffusion, approximation de champ moyen, passage à deux dimensions*

## 2. Vortex dans un condensat

*Fréquence critique, réseau d'Abrikosov et argument de Feynman*

## 3. Rotation et niveau de Landau fondamental

*Vers la rotation rapide...*

## 4. Au delà du champ moyen

*Etats fortement corrélés : seuil d'apparition et schémas de détection possibles*

# Plan du cours

## 1. Interactions dans un gaz froid

*Longueur de diffusion, approximation de champ moyen, passage à deux dimensions*

## 2. Vortex dans un condensat

*Fréquence critique, réseau d'Abrikosov et argument de Feynman*

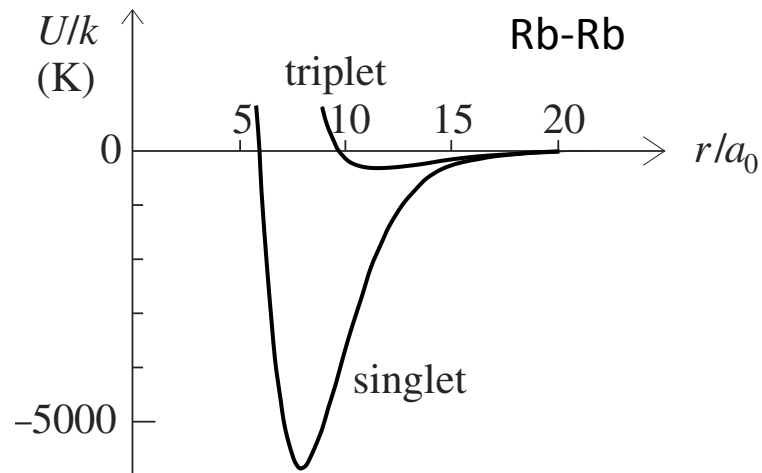
## 3. Rotation et niveau de Landau fondamental

*Vers la rotation rapide...*

## 4. Au delà du champ moyen

*Etats fortement corrélés : seuil d'apparition et schémas de détection possibles*

# Interaction entre deux atomes neutres



Potentiel *a priori* compliqué, mais à très basse température (microkelvin), la partie isotrope de la section efficace de collision est généralement la seule à contribuer significativement (onde s)

Le potentiel d'interaction est alors représenté par un nombre, la longueur de diffusion  $a$ , et on peut le remplacer par un potentiel plus simple de même longueur de diffusion:

$$U^{(3D)}(\mathbf{r}) = \frac{4\pi\hbar^2 a}{M} \delta^{(3D)}(\mathbf{r}) \quad \text{potentiel de contact}$$

# Approximation de champ moyen

Hamiltonien du système de  $N$  atomes piégés et en interaction binaire :

$$\hat{H}^{(N)} = \sum_{j=1}^N \left( \frac{\hat{p}_j^2}{2M} + V(\mathbf{r}_j) \right) + \frac{1}{2} \sum_{\substack{i,j \\ i \neq j}} U(\mathbf{r}_i - \mathbf{r}_j)$$

On va s'intéresser à l'état fondamental de ce système, qui est *a priori* une fonction d'onde  $\Psi(\mathbf{r}_1, \dots, \mathbf{r}_N)$

Une hypothèse qui simplifie considérablement le problème : « champ moyen »

$$\Psi(\mathbf{r}_1, \mathbf{r}_2, \dots, \mathbf{r}_N) = \psi(\mathbf{r}_1) \psi(\mathbf{r}_2) \dots \psi(\mathbf{r}_N) \quad \int |\psi(\mathbf{r})|^2 d^3r = 1$$

**néglige toute corrélation entre particules**

Comment déterminer la fonction  $\psi$  qui représente au mieux le vrai état fondamental ?

# L'énergie de Gross-Pitaevskii

Dans le cadre de l'approximation de champ moyen  $\Psi(\mathbf{r}_1, \dots, \mathbf{r}_N) = \psi(\mathbf{r}_1) \dots \psi(\mathbf{r}_N)$

on va chercher la fonction  $\psi$  normée qui minimise l'énergie moyenne :

$$E^{(N)}[\psi] = \langle \Psi | \hat{H}^{(N)} | \Psi \rangle$$

Valeur explicite de l'énergie par particule  $E[\psi] = E^{(N)}[\psi]/N$  :

$$E[\psi] = \int \left( \underbrace{\frac{\hbar^2}{2M} |\nabla \psi(\mathbf{r})|^2}_{\text{énergie cinétique}} + \underbrace{V(\mathbf{r}) |\psi(\mathbf{r})|^2}_{\text{énergie de piégeage}} + \underbrace{\frac{2\pi \hbar^2 a N}{M} |\psi(\mathbf{r})|^4}_{\text{énergie d'interaction}} \right) d^3r$$

**énergie  
cinétique**

**énergie de  
piégeage**

**énergie  
d'interaction**

Formulation équivalente : la fonction  $\psi$  est solution de l'équation de Gross-Pitaevskii

$$-\frac{\hbar^2}{2M} \Delta \psi(\mathbf{r}) + V(\mathbf{r}) \psi(\mathbf{r}) + \frac{4\pi \hbar^2 a N}{M} |\psi(\mathbf{r})|^2 \psi(\mathbf{r}) = \mu \psi(\mathbf{r})$$

$\mu$  : potentiel chimique



# La longueur de cicatrisation $\xi$

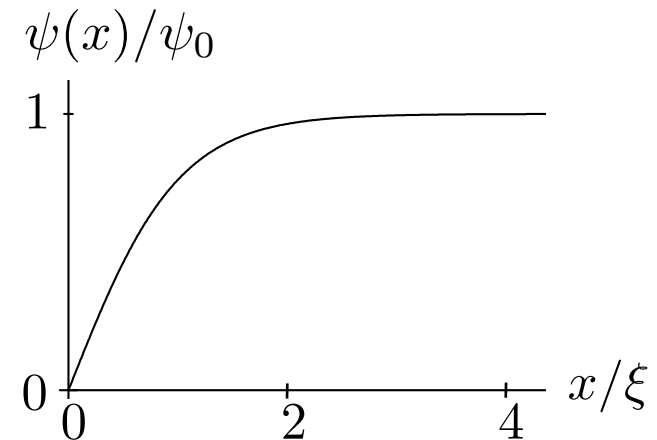
## Longueur associée aux interactions

Exemple de problème :

- on place un paroi en  $x = 0$ , sur laquelle  $\psi(x)$  doit s'annuler
- quand  $x \rightarrow \infty$ ,  $\psi(x) \rightarrow \psi_0 \propto (\text{densité})^{1/2}$

Il faut trouver le meilleur compromis entre :

- le terme d'énergie cinétique qui favorise des variations lentes de  $\psi(x)$
- le terme d'énergie d'interaction répulsive qui tend à remplir uniformément tout le volume accessible.

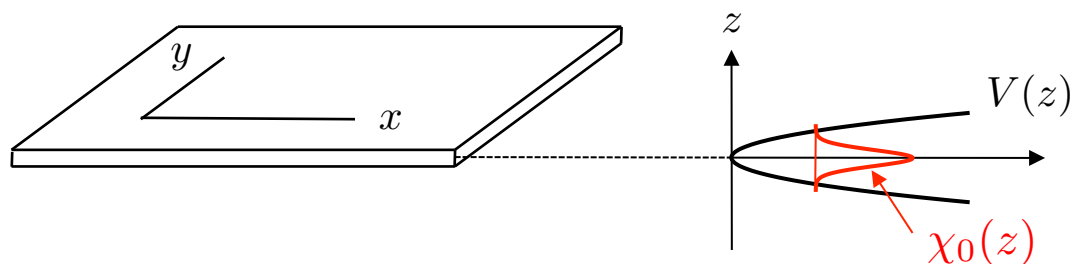


$$\psi(x) = \psi_0 \tanh(x/\xi) \quad \xi = \frac{\hbar}{\sqrt{M\mu}}$$

# Passage à deux dimensions

*Ce passage va nous permettre de nous concentrer sur les termes importants pour l'étude du magnétisme et va simplifier le formalisme.*

Le mouvement selon la direction  $z$  est supposé « gelé » par un fort potentiel de confinement  $V(z)$



Ramène la recherche de l'état fondamental à une fonction  $\phi$ :  $\psi(x, y, z) = \phi(x, y) \chi_0(z)$

$$\text{Energie par particule : } E[\phi] = \int \left( \frac{\hbar^2}{2M} |\nabla \phi(\mathbf{r})|^2 + \frac{1}{2} M \omega^2 r^2 |\phi(\mathbf{r})|^2 + \frac{\hbar^2}{2M} N g |\phi(\mathbf{r})|^4 \right) d^2 r$$

**cinétique**

**piège xy  
harmonique**

**interaction**

Les interactions sont maintenant caractérisées par le nombre sans dimension  $g = \sqrt{8\pi} \frac{a}{a_z}$

« taille » de l'état  $\chi_0(z)$  selon  $z$ :  $a_z = \sqrt{\hbar/M\omega_z}$

# Echelles d'énergie dans un piège à deux dimensions

Trois termes « en compétition » dans l'énergie  $E[\phi]$

**Energie du piège**

$$\frac{1}{2} M \omega^2 \int r^2 |\phi|^2$$

Favorise des fonctions  $\phi$  compactes,  
localisées au voisinage de 0

**Energie cinétique**

$$\frac{\hbar^2}{M} \int |\nabla \phi|^2$$

Favorisent des fonctions  $\phi$   
étalées dans le piège en  $xy$

**Energie d'interaction**

$$\frac{\hbar^2}{M} N g \int |\phi|^4$$

On commence par comparer énergie cinétique et énergie d'interaction

Fonction  $\phi$  normalisée, d'extension typique  $R$  autour de  $r = 0$  :  $\phi \sim 1/R$   $\int |\phi|^2 = 1$

**Energie cinétique**

$$\sim \frac{\hbar^2}{M R^2}$$

**Energie d'interaction**

$$\sim \frac{\hbar^2}{M R^2} N g$$

Valeurs typiques de  $g$  :  $10^{-2}$  à  $1$  . Dès que  $N > 100$ , l'énergie d'interaction domine à 2D

# Piège harmonique 2D et régime de Thomas-Fermi

Echelle de longueur « naturelle » :  $a_{\perp} = \sqrt{\hbar/M\omega}$

On se place dans le cas  $Ng \gg 1$  : énergie cinétique  $\ll$  énergie d'interaction

L'équilibre du gaz résulte donc de la compétition entre énergies de piégeage et d'interaction

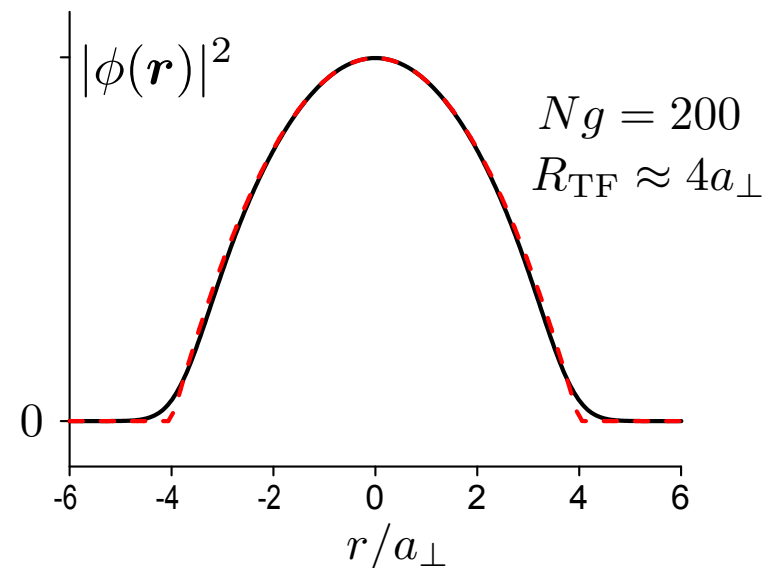
Equation de Gross-Pitaevskii :  ~~$-\frac{\hbar^2}{2M}\Delta\phi + \frac{1}{2}M\omega^2 r^2\phi + \frac{\hbar^2}{M}Ng|\phi|^2\phi = \mu\phi$~~

Solution en « parabole inversée » :  $Ng|\phi(\mathbf{r})|^2 = \frac{1}{2a_{\perp}^4} (R_{\text{TF}}^2 - r^2)$        $\mu = \frac{1}{2}M\omega^2 R_{\text{TF}}^2$

$$\mu = \hbar\omega \left(\frac{Ng}{\pi}\right)^{1/2} \gg \hbar\omega$$

$$R_{\text{TF}} = a_{\perp} \left(\frac{4Ng}{\pi}\right)^{1/4} \gg a_{\perp}$$

$$\xi = \frac{\hbar}{\sqrt{M\mu}} \ll a_{\perp}$$



# Plan du cours

## 1. Interactions dans un gaz froid

*Longueur de diffusion, approximation de champ moyen, passage à deux dimensions*

## 2. Vortex dans un condensat

*Fréquence critique, réseau d'Abrikosov et argument de Feynman*

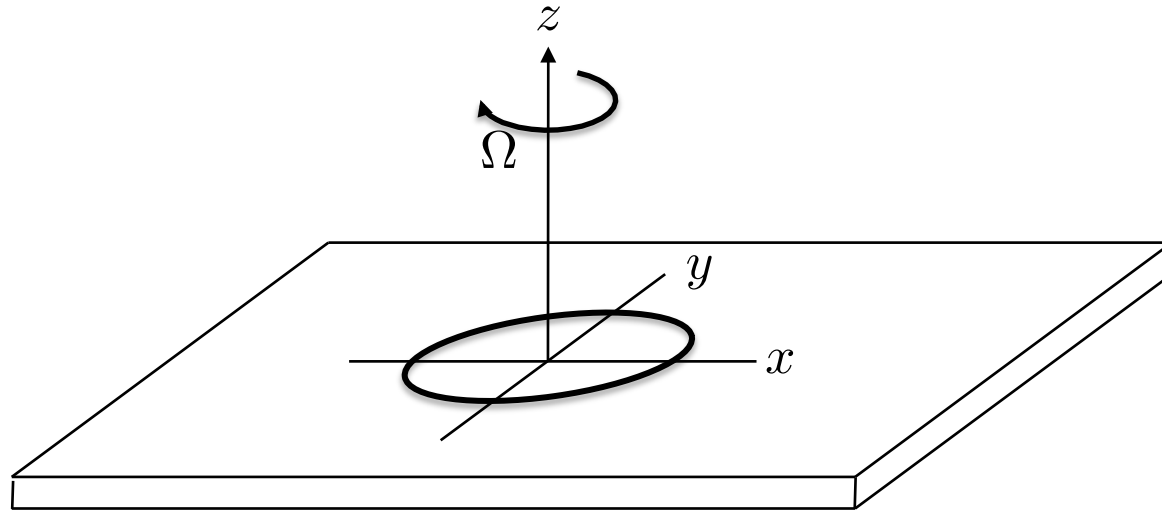
## 3. Rotation et niveau de Landau fondamental

*Vers la rotation rapide...*

## 4. Au delà du champ moyen

*Etats fortement corrélés : seuil d'apparition et schémas de détection possibles*

# Condensat en rotation



## Passage dans le référentiel tournant

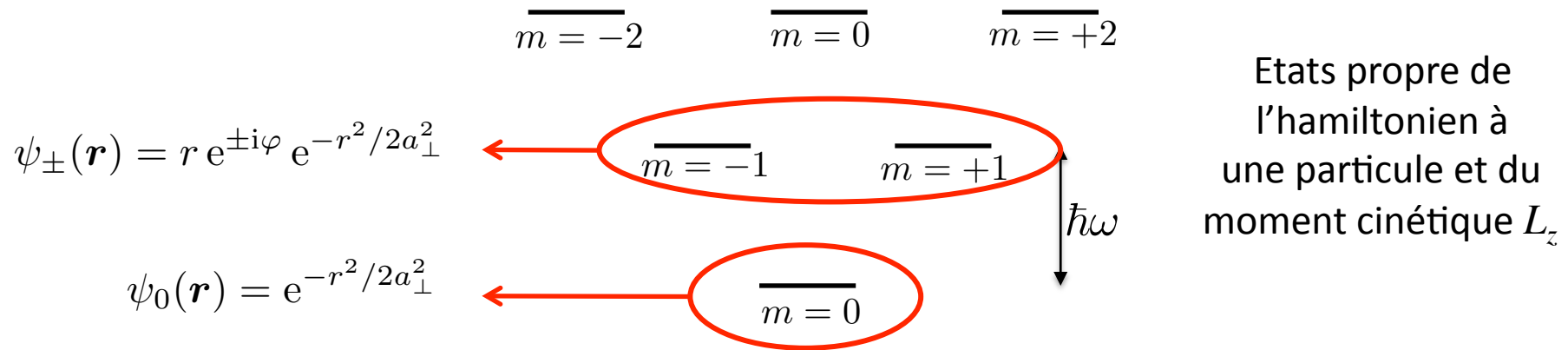
Hamiltonien à une particule : 
$$\hat{H} = \frac{\hat{\mathbf{p}}^2}{2M} + \frac{1}{2}M\omega^2\hat{\mathbf{r}}^2 - \Omega\hat{L}_z$$

Energie de Gross-Pitaevskii : 
$$E[\phi] \rightarrow E[\phi] - \underbrace{\Omega \int \phi^* (\hat{L}_z \phi) d^2r}$$

*favorise l'apparition d'états de moment cinétique non nul*

# Les vortex (ou tourbillons quantiques)

## Rappel sur l'oscillateur harmonique à deux dimensions



Les états  $\psi_{\pm}(\mathbf{r})$  sont des états à un vortex :

- un point où la densité s'annule (ici  $\mathbf{r} = 0$ )
- une phase qui tourne de  $\pm 2\pi$  autour de ce point
- un champ de vitesse orthoradial au voisinage de ce point

$$\mathbf{v}(\mathbf{r}) = \pm \frac{\hbar}{Mr} \mathbf{u}_{\varphi}$$

$$\phi(\mathbf{r}) = |\phi(\mathbf{r})| e^{i\theta(\mathbf{r})} \rightarrow \mathbf{v}(\mathbf{r}) = \frac{\hbar}{M} \nabla \theta(\mathbf{r})$$

# Vortex à l'équilibre en présence d'interactions

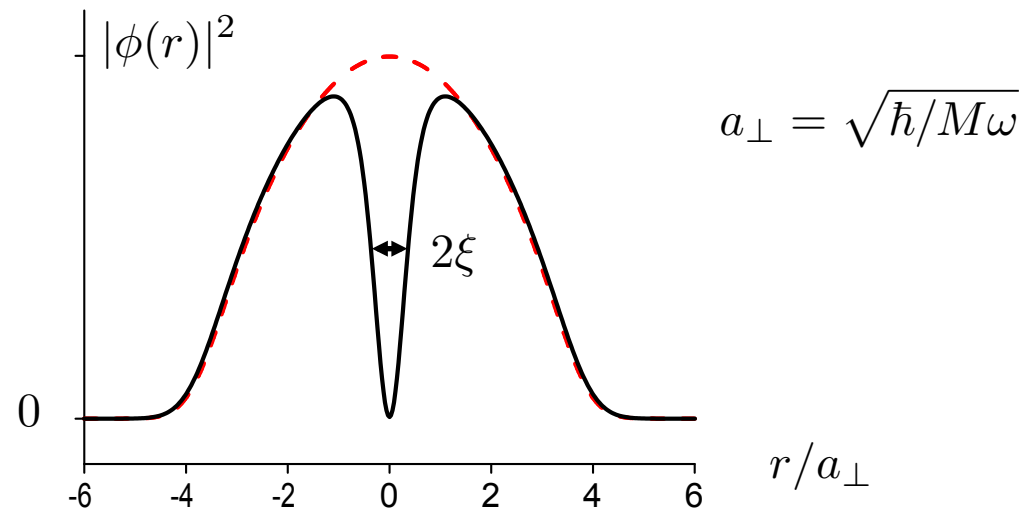
Etat d'énergie minimale de l'équation de Gross-Pitaevskii avec moment cinétique  $\hbar$

En présence d'interactions répulsives entre atomes, sa taille à l'équilibre est  $\xi$

$$Ng = 200$$

$$R_{\text{TF}} \approx 4a_{\perp}$$

$$\xi \approx 0.35 a_{\perp}$$





# Un vortex est-il énergétiquement favorable ?

La présence d'un vortex abaisse le terme d'énergie liée au passage dans le référentiel tournant :  $\Omega \hat{L}_z \longrightarrow -\hbar\Omega$

Mais elle augmente le terme d'énergie cinétique à cause de  $\mathbf{v}(\mathbf{r}) = \frac{\hbar}{Mr} \mathbf{u}_\varphi$

$$\begin{aligned}\Delta E_{\text{tot}} &\approx -\hbar\Omega + \frac{M}{2} \int |\phi(\mathbf{r})|^2 \mathbf{v}^2(\mathbf{r}) d^2r \\ &\approx -\hbar\Omega + \frac{M}{2} \int_{\xi}^{R_{\text{TF}}} |\phi(\mathbf{r})|^2 \frac{\hbar^2}{M^2 r^2} 2\pi r dr \\ &\approx -\hbar\Omega + \hbar\omega \sqrt{\frac{\pi}{Ng}} \ln \frac{R_{\text{TF}}}{\xi}\end{aligned}$$

Fréquence de rotation critique correspondant à  $\Delta E_{\text{tot}} < 0$

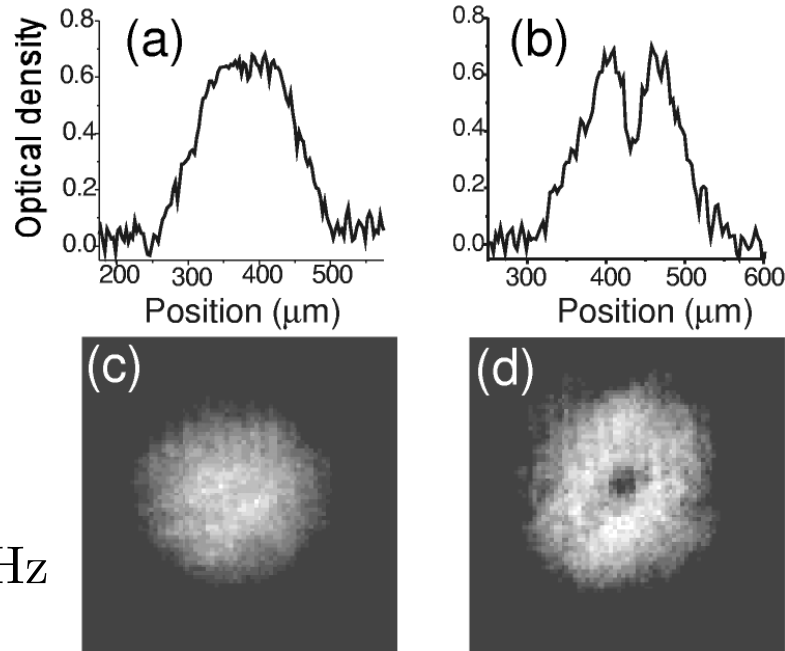
$$\Omega_c \approx \omega \sqrt{\frac{\pi}{Ng}} \ln \frac{R_{\text{TF}}}{\xi}$$

Limite de Thomas-Fermi :

$$Ng \gg 1 \longrightarrow \Omega_c \ll \omega$$

# Premiers vortex dans un condensat tournant

$^{87}\text{Rb}$ ,  
 $10^5$  atomes  
ENS 2000

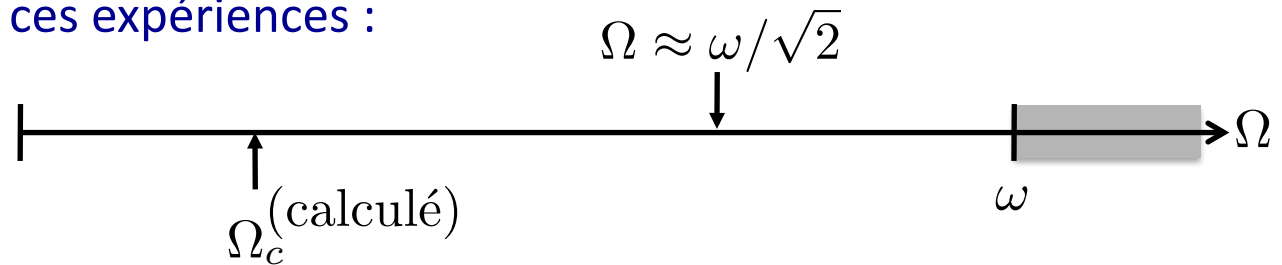


fréquence de  
piégeage en  $xy$  :  
 $\omega/2\pi = 220$  Hz

$\Omega/2\pi = 145$  Hz

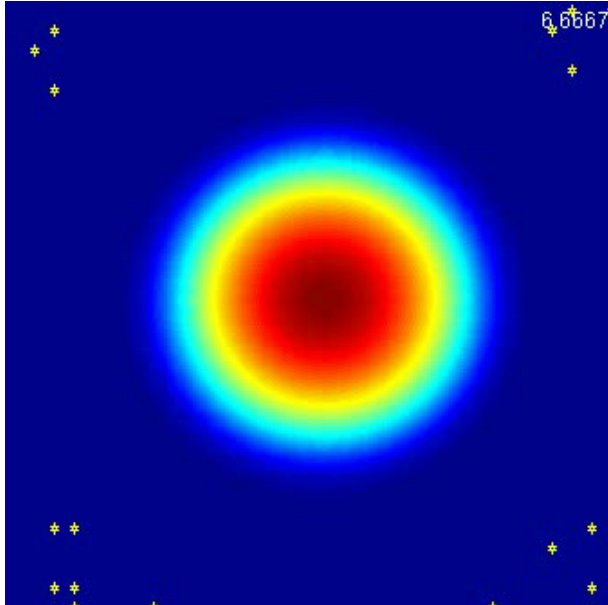
$\Omega/2\pi = 152$  Hz

Fréquence critique pour ces expériences :



**Explication** : pour faire entrer ce vortex, il faut passer par une instabilité dynamique

# L'entrée des vortex dans un condensat tournant

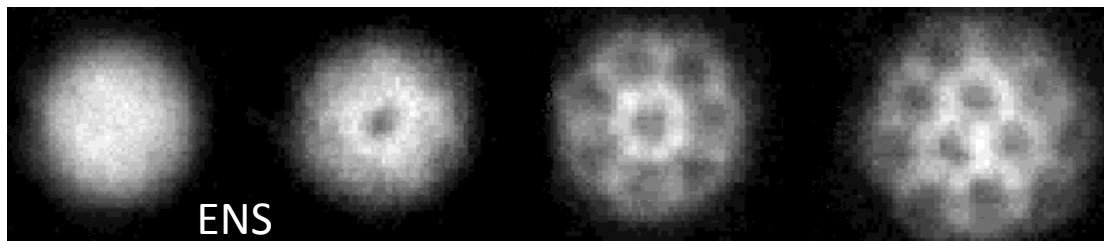


C. Lobo,  
A. Sinatra,  
Y. Castin,

Résolution numérique de l'équation  
de Gross-Pitaevskii dépendant du temps

$$\Omega(t) : \quad \Omega_i = 0 \rightarrow \Omega_f = 0.8\omega$$

Observation de vortex multiples pour des fréquences de rotation plus élevées



Nombre de vortex  
en fonction de  $\Omega$  ?

# L'argument de Feynman

➡ *Comment mettre du moment cinétique dans un superfluide circulaire ?*

**Les vortex sont incontournables !**

(égalt. Onsager)

- en dehors d'un vortex :

$$\phi(\mathbf{r}) = |\phi(\mathbf{r})| e^{i\theta(\mathbf{r})} \xrightarrow{\text{si } |\phi(\mathbf{r})| \neq 0} \mathbf{v}(\mathbf{r}) = \frac{\hbar}{M} \nabla \theta(\mathbf{r}) \longrightarrow \nabla \times \mathbf{v}(\mathbf{r}) = 0$$

**vorticité nulle**

- sur un vortex au point  $\mathbf{r}_0$  :

$$\mathbf{v}(\mathbf{r}) \approx \frac{\hbar}{M|\mathbf{r} - \mathbf{r}_0|} \mathbf{u}_\varphi \longrightarrow \nabla \times \mathbf{v}(\mathbf{r}) = \frac{2\pi\hbar}{M} \delta(\mathbf{r} - \mathbf{r}_0)$$

➡ *Comparaison avec un fluide classique :*

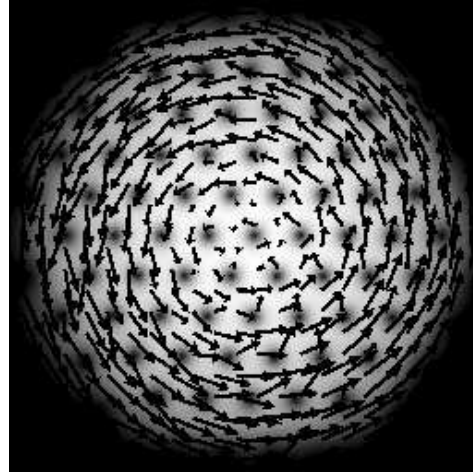
$$\text{champ de rotation rigide : } \mathbf{v}_{\text{class.}}(\mathbf{r}) = \boldsymbol{\Omega} \times \mathbf{r} \longrightarrow \nabla \times \mathbf{v}(\mathbf{r}) = 2\boldsymbol{\Omega}$$

Les deux situations seront (en moyenne) équivalentes pour une densité de vortex  $\frac{2\pi\hbar}{M} \rho_v = 2\boldsymbol{\Omega}$

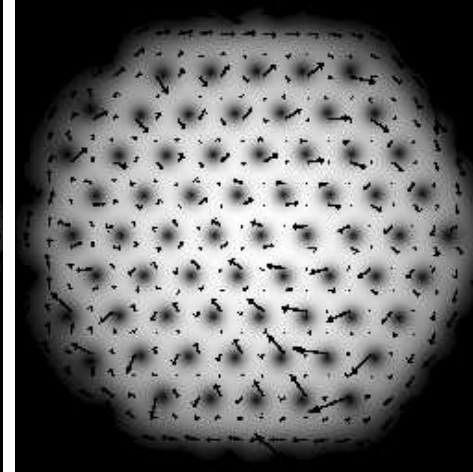
# Confirmation numérique de l'argument de Feynman

Feder-Clark

Champ de vitesse dans  
le référentiel du labo



Champ de vitesse dans  
le référentiel tournant



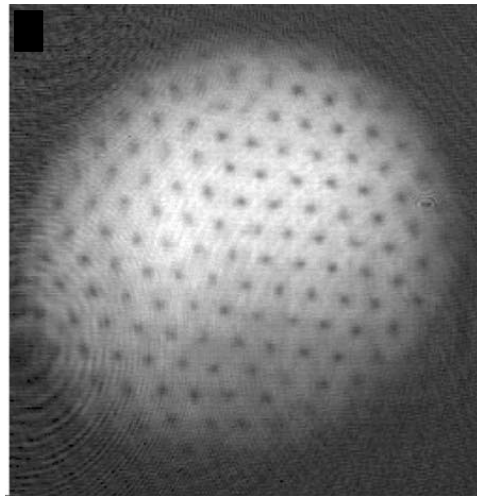
- ➔ L'état stationnaire correspond bien à la densité de vortex prédite par Feynman pour assurer un champ de vitesse similaire (en moyenne) à la rotation rigide
- ➔ Les vortex s'arrangent en un réseau régulier triangulaire [ similaire au réseau d'Abrikosov pour des vortex dans un supraconducteur de type II ]

# Grands réseaux de vortex et loi de Feynman

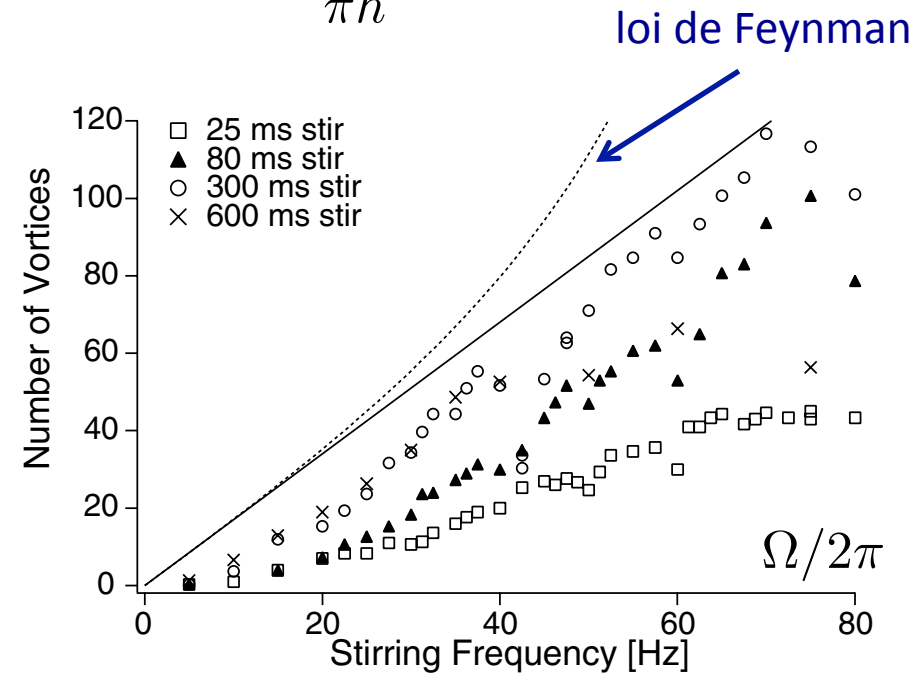
Nombre de vortex :  $N_v = \rho_v \pi R_{TF}^2$

avec  $\rho_v = \frac{M\Omega}{\pi\hbar}$

MIT 2001



$\Omega/2\pi = 60 \text{ Hz}$



Piège contenant 50 millions d'atomes de  $^{23}\text{Na}$ , avec  $\omega/2\pi = 86 \text{ Hz}$

Accord raisonnable avec la loi de Feynman, mais on ne l'atteint jamais complètement : mise à l'équilibre imparfaite ?

# Forme d'équilibre du condensat en rotation

L'énergie totale est la somme de quatre termes :

$$E[\phi] = E_c[\phi] + E_p[\phi] + E_{\text{int}}[\phi] - \Omega \langle L_z \rangle_\phi$$

- énergie potentielle :  $E_p[\phi] = \frac{1}{2} M \omega^2 \int r^2 |\phi|^2$
- en prenant le champ de rotation rigide  $\mathbf{v} \approx \boldsymbol{\Omega} \times \mathbf{r}$  et en négligeant l'espace occupé par les cœurs des vortex :

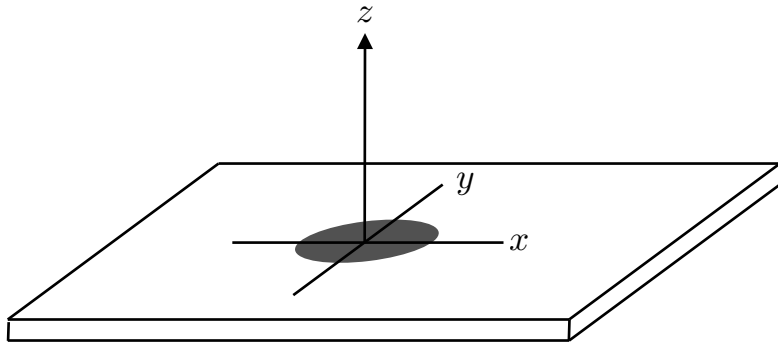
$$E_c[\phi] \approx \frac{1}{2} M \Omega^2 \int r^2 |\phi|^2 \qquad -\Omega \langle L_z \rangle_\phi \approx -M \Omega^2 \int r^2 |\phi|^2$$

ce qui conduit à :  $E[\phi] \approx \frac{1}{2} M (\omega^2 - \Omega^2) \int r^2 |\phi|^2 + E_{\text{int}}[\phi]$

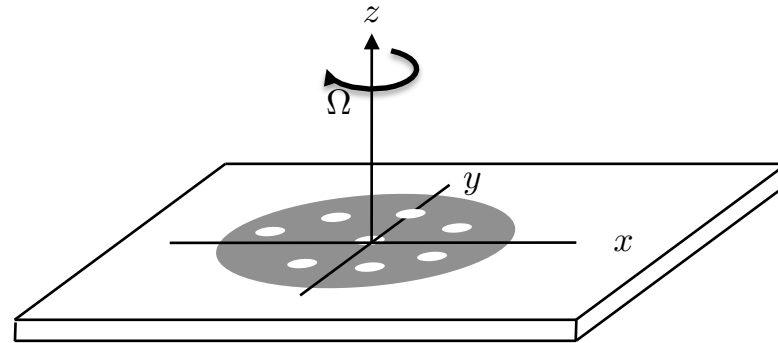
Equivalent à l'approximation de Thomas-Fermi en absence de rotation, pourvu qu'on fasse la substitution  $\omega^2 \longrightarrow \omega^2 - \Omega^2$

**déconfinement dû à la force centrifuge**

# Bilan de cette analyse



Condensat au repos



Condensat en rotation

Rayon de Thomas-Fermi :  $R_{\text{TF}} \propto \frac{1}{\sqrt{\omega}} \longrightarrow \frac{1}{(\omega^2 - \Omega^2)^{1/4}}$

Longueur de cicatrisation :  $\xi \sim \frac{a_{\perp}^2}{R_{\text{TF}}} \propto \frac{1}{\sqrt{\omega}} \longrightarrow \frac{1}{(\omega^2 - \Omega^2)^{1/4}}$

Les deux longueurs divergent quand on s'approche de la rotation critique  $\Omega = \omega$



# Plan du cours

## 1. Interactions dans un gaz froid

*Longueur de diffusion, approximation de champ moyen, passage à deux dimensions*

## 2. Vortex dans un condensat

*Fréquence critique, réseau d'Abrikosov et argument de Feynman*

## 3. Rotation et niveau de Landau fondamental

*Vers la rotation rapide...*

## 4. Au delà du champ moyen

*Etats fortement corrélés : seuil d'apparition et schémas de détection possibles*

## Vers la limite de rotation rapide

Quand la fréquence de rotation  $\Omega \rightarrow \omega$ , la longueur de cicatrisation diverge

$$\xi \propto (\omega^2 - \Omega^2)^{-1/4} \rightarrow +\infty$$

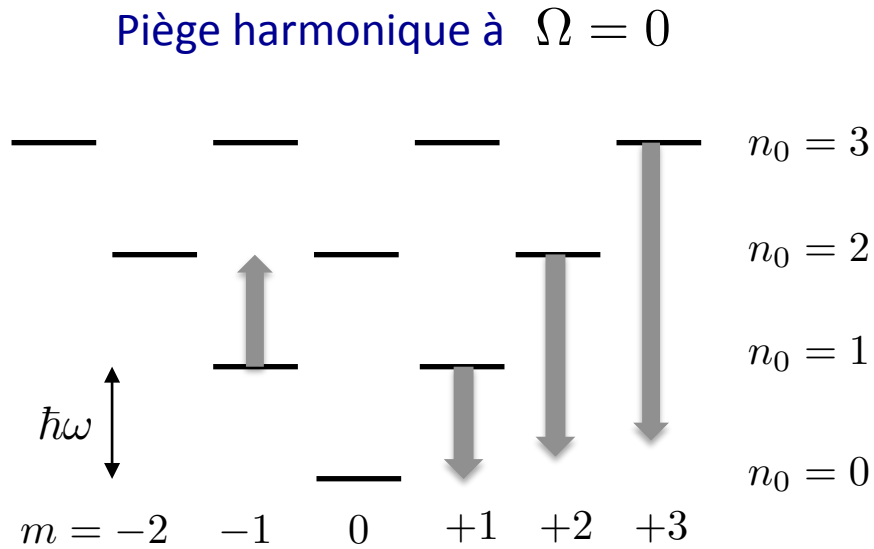
Dès que la longueur de cicatrisation dépasse l'échelle de longueur de la particule unique  $a_{\perp}$ , elle perd sa pertinence physique.

Valeur du potentiel chimique dans cette limite :

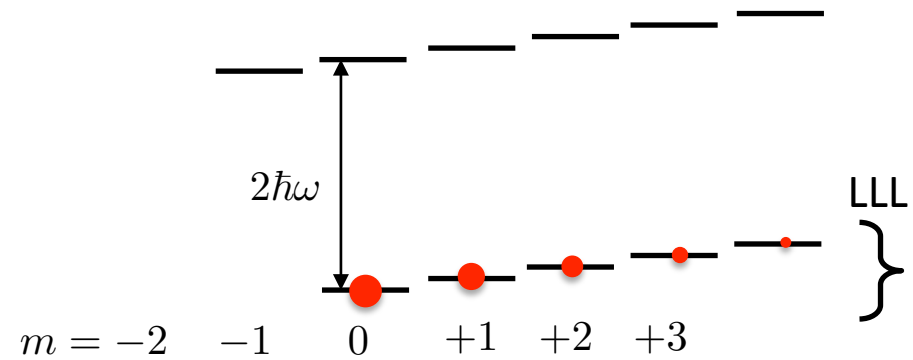
$$\mu = \frac{\hbar^2}{M\xi^2} \quad \xi > a_{\perp} = \sqrt{\frac{\hbar}{M\omega}} \quad \longrightarrow \quad \mu < \hbar\omega$$

Il faut revenir aux états à une particule pour voir lesquels restent peuplés

# Etats à une particule quand $\Omega \rightarrow \omega$



On ajoute  $-\Omega L_z = -m\hbar\Omega$   
pour passer dans le référentiel tournant

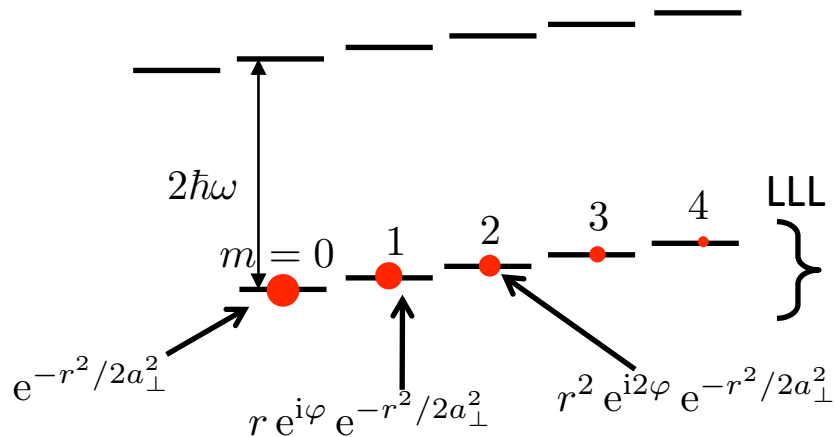


La limite  $\mu < \hbar\omega$  correspond à n'occuper que le niveau de Landau fondamental

critère :  $\frac{\Omega}{\omega} \gtrsim 1 - \frac{1}{Ng}$

1000 atomes,  $g=0.1$  :  $\Omega > 0.99\omega$

# Les états du LLL



Base propre simple en jauge symétrique :

$$\phi_m(r, \varphi) \propto r^m e^{im\varphi} e^{-r^2/2a_{\perp}^2}$$

$$= u^m e^{-r^2/2a_{\perp}^2}$$

avec :  $u = x + iy$

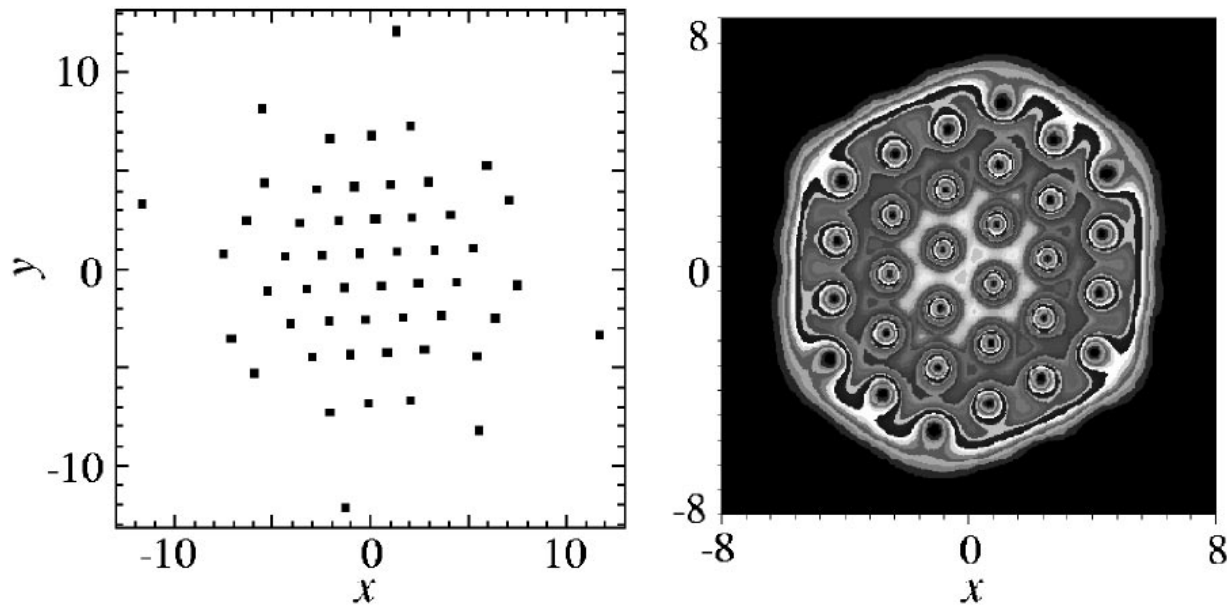
Fonction d'onde générale du LLL:  $\phi(\mathbf{r}) = \sum_m \alpha_m \phi_m(\mathbf{r}) = P(u) e^{-r^2/2a_{\perp}^2}$

polynôme :  $P(u) = \sum_m \alpha_m u^m = \prod_{m=1}^{m_{\max}} (u - u_m)$

Autour de la racine  $u_m$  du polynôme, la phase tourne de  $+2\pi$  : vortex !

Dans le LLL, il est équivalent de se donner la fonction d'onde (coefficients  $\alpha_m$ ) ou la position des vortex (racines  $u_m$ )

## Etat fondamental dans le LLL (champ moyen)



Aftalion et al.

Etat à  $\sim 30$  vortex

On a toujours un réseau de vortex régulier au centre (Feynman)

La distribution lissée a toujours une forme de parabole inversée (Thomas-Fermi)  
mais le coefficient sans dimension caractérisant les interactions est renormalisé :

$$g \rightarrow bg \quad b \approx 1.1596 \quad \text{: paramètre d'Abrikosov}$$

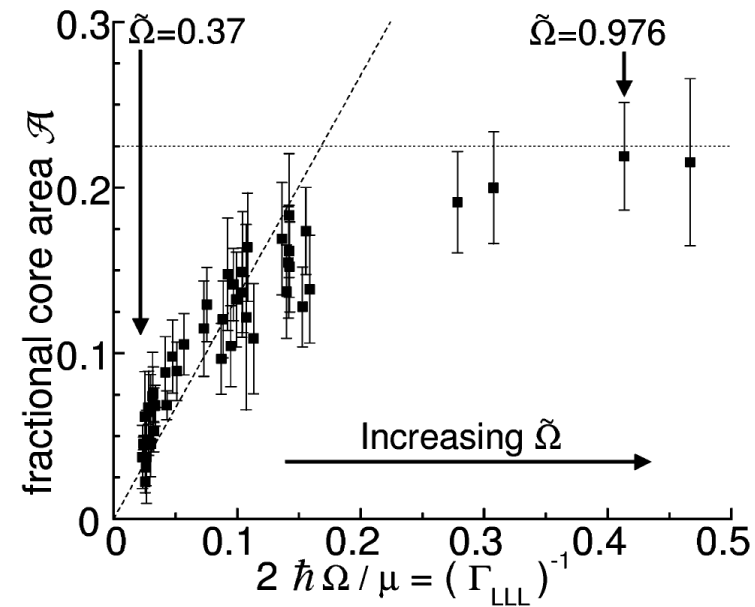
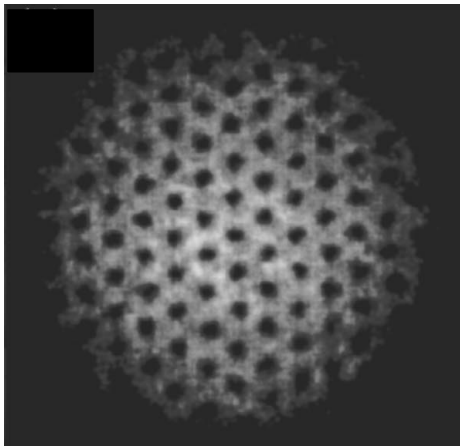
$$\text{Nombre de vortex : } N_v \approx \left( \frac{bg N}{1 - \Omega/\omega} \right)^{1/2}$$

# Expériences dans le LLL

Boulder : méthode de mise en rotation par évaporation, qui permet d'atteindre

$$\Omega = 0.993 \omega$$

Etude de la fraction de la surface occupée par les cœurs de vortex, en fonction de  $\Omega$



100 000 atomes de rubidium, dans un piège qui est effectivement 2D après la mise en rotation

# Plan du cours

## 1. Interactions dans un gaz froid

*Longueur de diffusion, approximation de champ moyen, passage à deux dimensions*

## 2. Vortex dans un condensat

*Fréquence critique, réseau d'Abrikosov et argument de Feynman*

## 3. Rotation et niveau de Landau fondamental

*Vers la rotation rapide...*

## 4. Au delà du champ moyen

*Etats fortement corrélés : seuil d'apparition et schémas de détection possibles*

# Limites de la théorie de champ moyen

Nombre de particules :  $N$

Nombre d'états à une particule peuplés = nombre de vortex dans le LLL :

$$N_v \approx \left( \frac{g N}{1 - \Omega/\omega} \right)^{1/2}$$

Quand  $N_v \sim N$ , on peut abaisser significativement l'énergie en considérant des états corrélés pour lesquels  $\Psi(\mathbf{r}_1, \dots, \mathbf{r}_N) \neq \psi(\mathbf{r}_1) \dots \psi(\mathbf{r}_N)$

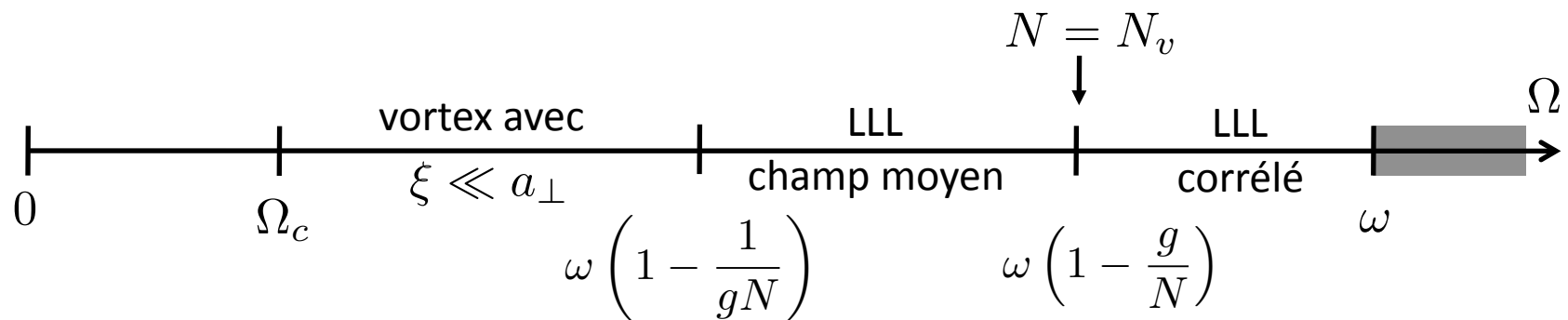


diagramme valable pour une interaction assez faible :  $g < 1$



# Comment chercher des états corrélés ?

On cherche l'état fondamental de

$$\hat{H} = \sum_i \left( \frac{\hat{\mathbf{p}}_i^2}{2M} + \frac{1}{2} M \omega^2 \hat{\mathbf{r}}_i^2 \right) + \frac{\hbar^2}{M} g \sum_{i < j} \delta^{(2)}(\mathbf{r}_i - \mathbf{r}_j)$$

pour un moment cinétique total  $\mathcal{L}$  donné

On reste dans le LLL, mais on considère maintenant des états corrélés

$$\Phi(\mathbf{r}_1, \mathbf{r}_2, \dots, \mathbf{r}_N) = \mathcal{P}(u_1, u_2, \dots, u_N) \exp\left(-\sum_i r_i^2 / 2a_\perp^2\right)$$

où  $\mathcal{P}$  est un polynôme symétrique (pour des bosons) des variables  $u_1, u_2, \dots, u_N$

Par exemple,  $N = 2$ ,  $\mathcal{L} = 2$  :  $\mathcal{P}(u_1, u_2) = \alpha(u_1^2 + u_2^2) + \beta u_1 u_2$

Plus généralement, somme de monômes  $u_1^{\alpha_1} \dots u_N^{\alpha_N}$   $\sum_i \alpha_i = \mathcal{L}$

# Configurations remarquables

→ Quand  $N_v \sim \frac{N}{10}$ , fonte du réseau de vortex du fait des fluctuations quantiques

→ Quand  $N_v = 2N$  (facteur de remplissage  $\frac{1}{2}$ ), état de Laughlin

$$\mathcal{P}_{\text{Lau.}}(u_1, u_2, \dots, u_N) = \prod_{i < j} (u_i - u_j)^2 \quad \text{degré total du polynôme :}$$
$$\mathcal{L} = N(N - 1)$$

Jamais deux particules au même endroit : fortes corrélations !

Energie d'interaction nulle pour un potentiel de contact  $\frac{\hbar^2}{M} g \sum_{i < j} \delta^{(2)}(\mathbf{r}_i - \mathbf{r}_j)$

Séparé par un gap de tous les états excités de même moment cinétique

$$E_{\text{gap}} \approx 0.1 g \hbar \omega$$

Regnault-Jolicœur

→ Quand  $N_v = N$  (facteur de remplissage 1), état de Moore-Read (Pfaffien)

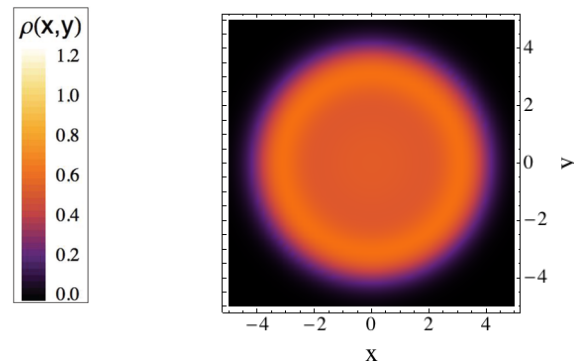
# Comment détecter ces états corrélés ?

➔ Réduction des pertes inélastiques

*Etat de Laughlin : jamais deux ou trois atomes au même endroit*

➔ Gap entre l'état fondamental et les états excités : incompressibilité

*Profil de densité plat pour un état de Laughlin dans un piège harmonique*

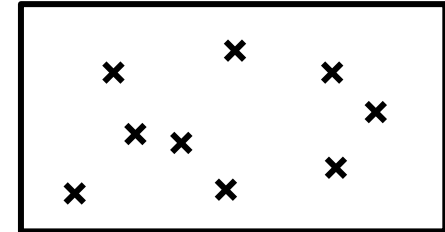


M. Roncaglia, M. Rizzi, J.D.,  
calcul pour 9 particules

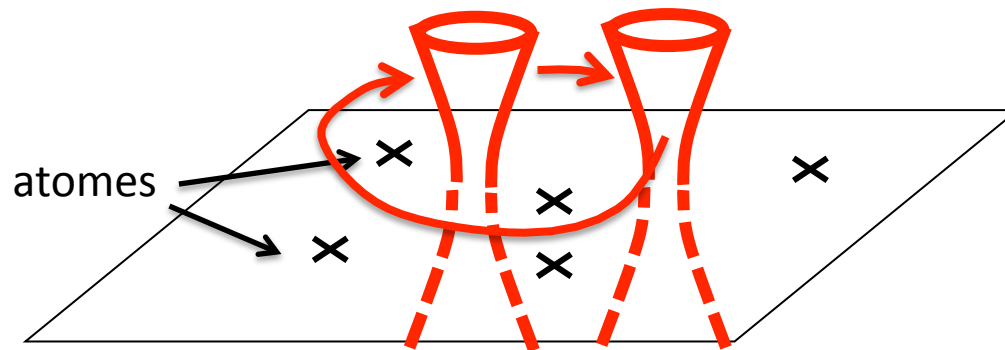
# Comment détecter ces états corrélés (suite) ?

→ Detections des atomes individuels après un temps de vol

*Reconstruction des fonctions de corrélations spatiales*



→ Recherche de statistique non conventionnelles [anyons, (Wilczek, 1982)] pour les états excités de ces fluides



*Paredes et al.*

- créer deux excitations (trous) avec deux faisceaux lasers
- tourner une excitation autour de l'autre
- Détecter la phase accumulée

# Conclusions

On dispose désormais d'une grande panoplie d'outils pour construire le « bon » hamiltonien magnétique à une particule

*Mise en évidence d'effets topologiques subtils*

Un progrès décisif sera d'obtenir des états fortement corrélés, par exemple de type « effet Hall quantique fractionnaire »

*Expériences d'atomes froids complémentaires  
des méthodes de diagonalisation exacte*

*Elles permettront d'aborder des questions importantes  
ouvertes sur la matière quantique topologique*